

بررسی کانه‌زایی منگنز در جوکنده، جنوب باختر هشت‌ترود

فرهاد ملک قاسمی و وارطان سیمونز*

*گروه زمین شناسی، دانشکده علوم، دانشگاه تبریز، ایران

Investigation of Manganese Mineralization in Jokandy, Southwest of Hashtrood

By: F.Malekghasemi* & V.Simmonds*

*Geology Department, Faculty of Sciences, Tabriz University, Iran

تاریخ پذیرش: ۱۳۸۵/۰۴/۱۱

تاریخ دریافت: ۱۳۸۴/۰۸/۰۷

چکیده

هدف از این مطالعه، تعیین زایش رخدادهای منگنز اطراف هشت‌ترود، با نگرشی ویژه به منطقه ایده‌لو - جوکنده است. در این منطقه کانی‌سازی پراکنده و نسبتاً گستردۀ منگنز صورت گرفته که منشأ آن از نوع چشمۀ‌های آب گرم و به شکل سطحی است. کانی‌سازی عمده‌اً به شکل توده‌ای و رگه‌ای است. به خاطر وجود چشمۀ‌های آب گرم و آثار آنها در محدوده مطالعاتی، می‌توان نتیجه گیری کرد که ترکیب‌های آهن و منگنز به صورت محلول در ترکیب آبهای گرم منطقه شرکت داشته‌اند و توسط همین چشمۀ‌ها بر سطح زمین نهشته شده و یا به داخل شکستگیها و گسل‌های موجود در بین سنگ‌های منطقه نفوذ کرده و سبب کانی‌سازی شده‌اند. نوع کانی منگنز به طور عمده پیرولوژیت و پسیلوملان، و کانی‌های همراه آن، زیپس، تراورتن، باریت و ژاسپر می‌باشند.

کلیدواژه‌ها: منگنز، پیرولوژیت، پسیلوملان، گرمابی، زایش

Abstract

The purpose of this study is to determine the genesis of the manganese occurrences around the Hashtrood city, with special regard to Idahlu- Jokandy region. In this region Mn mineralization is sparse and rather extensive. Mineralization has originated from hot springs and precipitated on the earth surface. The mineralization is mainly massive and vein form. Due to the presence of hot springs and their traces in the study area, it can be concluded that Fe and Mn components were in the hot springs as solution and precipitated on the earth surface or penetrated into existing fractures and faults of the region by the hot springs and consequently caused the mineralization. The main Mn minerals are pyrolusite and psylomelane accompanied by gypsum, travertine, barite and jasper.

Key Words: Manganese, Pyrolusite, Psylomelane, Hydrothermal, Genesis.

-۱ مقدمه-

(کواترنر) است. عیار متوسط منگنز در نمونه‌ها حدود ۴۰ درصد و عناصر همراه آن گوگرد، فسفر و سیلیس است. بررسیهای صحرایی نشان می‌دهند چشمۀ‌های آب گرمی که زمانی در منطقه فعالیت داشته و در حال حاضر خشک می‌باشند باعث رسوب‌گذاری و تشکیل نوارها و عدیسهای منگنز به صورت میان لایه همراه با تراورتن در منطقه شده‌اند.

زمان تشکیل کانسار، کواترنر بوده و کانی‌سازی از نوع نهشت رسوبات حاصل از چشمۀ‌های آب گرم و به شکل سطحی است. مثال زنده این موضوع، چشمۀ آب گرم و فعل ایسی سو در منطقه است. عمده‌ترین کانی

کانسار جوکنده در ۸۰ کیلومتری باخته - جنوب باخته میانه و ۳۷ کیلومتری جنوب - جنوب باخته هشت‌ترود و شمال باخته روستای جوکنده واقع است. کانسار از ۲ بخش تشکیل شده است: کانسار شماره ۱ که به فاصله ۲۸۰۰ متری در شمال خاوری کانسار شماره ۲ قرار دارد. کانی‌سازی از نوع چشمۀ‌های آب گرم و به شکل سطحی است. در ناحیه باخته ایده‌لو، منگنز به صورت دو نوار با ستبرای جمعی ۳ متر، طول ۱۵ متر و پهنای متوسط ۱ متر نهشت شده است. نوارهای منگنز در اینجا، زیر لایه‌های آهکی قرار دارند. آهک حالت افقی داشته و خیلی جوان



این سنگها به نسبتی مختلط در مناطق مختلف با مواد رسوبی مخلوط شده‌اند به طوری که در برخی نقاط می‌توان آنها را توفهای رسی و ماسه‌ای نامید. در برخی نقاط نیز قطعات سنگهای مختلف قسمتی از اجزای توفها را تشکیل می‌دهند. به نظر می‌رسد که این قطعات بیشتر از سنگهای خروجی قدیمی و سنگهای آتشفسانی دیگر باشند.

ج - مجموعه‌ای از سنگهای آذرآواری: این سنگها به سبب وجود و همراه بودن مواد منفصل آتشفسانی (حاکستر) با سنگهای آذرآواری، از واحد قبلی تغییک می‌شوند. چون توفهای این مجموعه دارای خاکسترها آتشفسانی هستند، این مواد شبیه ماسه‌اند که به نظر می‌رسد از دانه‌های ریز گدازه تشکیل شده‌اند. اندازه دانه‌ها متفاوت است. این سنگها به طور یکنواخت در زیر آهکهای آب شیرین کواترنری قرار می‌گیرند.

سنگهای کواترنری نیز به ۳ واحد سنگی تقسیم می‌شوند:

الف - قدیمی‌ترین سنگهای کواترنری دارای رنگ روشن (سفید تا کرمی) و دارای تخلخل زیاد هستند. در برخی نقاط قلوه‌سنگهای قدیمی‌تر در داخل آنها مشاهده می‌شود که با سیمانی کربناتی به هم جوش خورده‌اند به طوری که در قسمت زیرین کنگلومرا می‌هستند. سختی آنها نسبتاً کم است و با اندکی فشار پودر می‌شوند. تراورتنها عمدهاً همراه همین سنگها و در مناطقی روی آنها قرار دارند.

ب - نهشته‌های تراورتنی: اینها حاصل فعالیت چشممه‌های قدیمی‌تراند که اکنون خشک شده‌اند. در تعدادی از این نهشته‌های تراورتنی و در بین آنها، عدسه‌های منگنز و آهن و نیز نوارهایی از مرمر سبز به ستبرای حداقل ۳۰ سانتی‌متر دیده می‌شود که به طور عمده در راستای گسلی با روند تقریبی شمال باختر - جنوب خاور قرار دارند. به نظر می‌رسد این نهشته‌های تراورتنی از بخش‌های نسبتاً ژرف زمین بالاً‌آمد و فراورده آمیختگی آب سفرهای زیرزمینی با گازها و بخارهای ماگمایی هستند. گمان می‌رود نهشته‌های تراورتنی از چشممه‌هایی با آبدی پایین حاصل شده باشند چرا که تختنگاههای بزرگ حاصل از چشممه‌های با آبدی‌های بالا، در منطقه دیده نمی‌شوند و رخمنهای کوچک و پراکنده تراورتن تأییدی بر این مدعاست. نهشته‌های تراورتن اغلب دارای ساخت نواری‌اند و ترکیب آنها عمدهاً کلسیت بوده و نهشته‌های مرمر اینکس همراه تراورتن در منطقه خیلی کم است و در عوض عدسه‌هایی از اکسید منگنز و آهن در بین تراورتنها قرار دارند که ستبرای آنها از ۳۰ سانتی‌متر تا ۱/۵ متر است.

ج - آبرفهای جوان رودخانه‌ای و خاکهای حاصل از فرسایش سنگهای آذرآواری هستند که جوان‌ترین واحد منطقه می‌باشند.

۳- سنگ‌نگاری و سنگ‌شناسی سنگهای آذرین منطقه

چنان‌که در شکل ۱ دیده می‌شود و نیز بر اساس نقشه زمین‌شناسی ۱:۱۰۰۰۰ هشتاد، در اطراف هشتاد سنگهای آذرین گستردۀای با سن اثوسن تا

منگنز در این کاسارها، پیروزیت همراه با کمی پسیلوملان می‌باشد و بافت چیره در آن، بافت کلیه‌ای، پیزولیتی و نوار بنده هم مرکز است. نمونه‌های برداشته شده از خدادهای معدنی منطقه، بر روی نمودارهای ژئوشیمیایی ماهیت گرمابی نشان می‌دهند.

در کل، عیار میانگین اکسید منگنز در مناطق جوکنده ۱ و ۲، فرجه و ایده‌لو به ترتیب ۴۱/۵۱، ۶۱/۵، ۲۷/۹، ۲۵/۳۷ درصد است که در مقایسه با سنگهای منگنز مصرفی در صنایع، بویژه در ذوب آهن از کیفیت مناسبی برخوردار است.

به علت اجرا نشدن کارهای اکتشافی دقیق و گستردۀ و مشخص نشدن کامل ذخایر منگنز در منطقه، به نظر می‌رسد که در حال حاضر بهره‌برداری از چنین پتانسیلهایی اقتصادی نبوده و باید مطالعات دقیقی برای این منظور در مورد آنها به عمل آید.

۲- زمین‌شناسی عمومی منطقه

به منظور تفکیک واحدهای سنگ شناختی محدوده مطالعاتی و بویژه ابعاد و گسترش ماده معدنی، نقشه زمین‌شناسی ۱:۲۰۰۰۰ از منطقه تهیه شد که مبنای آن نقشه توپوگرافی ۱:۵۰۰۰۰ قره‌آغاج و عکس‌های هوایی ۱:۲۰۰۰ منطقه است (گزارش پی‌جوبی منگنز در ایده‌لو - جوکنده، ۱۳۷۵).

قدیمی‌ترین رخمنون در منطقه مورد مطالعه، شیل و ماسه سنگ سازند شمشک است که به طور عمده در جنوب باختری منطقه مشاهده می‌شود، در آنها لایه‌های زغال تاکنون گزارش نشده و رسوبات میوسن به طور دگرگشیب با یک نبود چینه‌ای بزرگ روی آنها قرار گرفته است.

سازندۀای میوسن قسمت اعظم منطقه را پوشش می‌دهد که خود به ۳ واحد تقسیم می‌شود:

الف - ماسه سنگهای سرخ میوسن مربوط به سازند سرخ بالایی که با شیب ۱۰ درجه در زیر تراورتنها قرار داشته و روی آنها یک سری سنگهای سرخ خاکستری و پرسیلیس که قطر ذرات آنها از سیلت تا قلوه سنگ متغیر است قرار می‌گیرند.

ب - واحد سنگهای آذرآواری که به طور جانبی به کنگلومرا فوق ختم شده و دارای سن میو-پلیوسن است. این مواد از دانه‌های آتشفسان شهند خارج شده و در هوا منتشر و سپس رسوب کرده‌اند. از نظر مواد و شیوه تشکیل، هم آذرین و هم رسوبی‌اند به طوری که قطر ذرات آنها از بسیار ریز (توف) تا درشت (آگلومرا) متغیر است و رنگ لایه‌های آنها اغلب سبز است. مجموعه سنگهایی که بدین شکل تشکیل شده‌اند عبارتند از آگلومرا، برش آتشفسانی، توف با اندازه دانه‌های متفاوت.

عیار آن در برخی قسمتها بالا و در برخی قسمتها به علت داشتن آهن بیشتر، ارزش اقتصادی پایین دارد. این توده‌ها در همبری با مرمرها و تراورتهای سفیدی واقع شده‌اند (شکل ۵). بافت‌های کلوفرم، کلیه‌ای، نواربندی هم مرکز و رشد کروی پیزولیتی در مقاطع صیقلی این کانه‌ها به فراوانی مشاهده می‌شوند (شکل ۶). عیار اکسید منگنز در این مواد معدنی تا ۶۶ درصد می‌رسد.

– پسیلوملان یا رومنشیت با داشتن ۱۶/۵ درصد BaO در ترکیب شیمیایی خود، اکسیدهای سخت و توده‌ای منگنز با بافت توتروپییدال خوانده می‌شود (Roy, 1981). نسبت Mn^{4+}/Mn^{2+} در این کانی به مراتب پایین تر از کریپتومولان و هولاندیت است. با استفاده از میکروسکوپ بازتابی و تجزیه XRD، این کانی در تعدادی از نمونه‌ها مشاهده شد. رنگ سفید و چندرنگی و ناهمسانگردی قوی از ویژگیهای شاخص این کانی است (ملک قاسمی، ۱۳۷۸).

بافت این کانی به طور عمده توده‌ای و کلوفرم و انباشتهای آن سوزنی (شکل ۷) است. طول این سوزنها بین ۲۰ تا ۵۰ میکرون می‌باشد. بافت‌های فوق با میکروسکوپ بازتابی به آسانی قابل تشخیص است.

– سیلیس (ژاسپر): هم به صورت میان لایه‌های پیرولوزیت دیده می‌شود و هم به صورت ژاسپر در منطقه پراکنده است. ژاسپرها دارای رنگهای سفید، سرخ و سیاه می‌باشند که موارد آخر می‌تواند به علت ورود آهن حاصل از هوازدگی آندزیتهای پیریت‌دار منطقه باشد.

– ژیپس در منطقه بسیار فراوان بوده و به صورت لایه‌های ۱۵-۱۰ سانتی‌متری در مارنهای آهکی منطقه قرار دارد. بافت‌های عمده این کانی، گل کلمی، دندان سگی، ستونی، رشته‌ای و ... است. برخی از این ژیپسها نیز به علت ورود آهن مشتق شده از هوازدگی آندزیتهای آهن‌دار منطقه، به رنگ سرخ دیده می‌شوند.

– باریت در منطقه خراسانک و جوکنده از فراوانی کمی برخوردار است و به همراه ژیپس دیده می‌شود. اما در منطقه زرشلو - خلیفه کمال فراوانی بالایی داشته و به صورت لایه‌هایی در شکافها و شکستگیها و همراه با رگه‌های منگنز تشکیل شده است. این کانی از محلولهای آب گرم در این شکافها نهشته شده است.

– تراورتن: در منطقه جوکنده، کانی‌سازی منگنز حاصل فعالیت چشممه‌های آب گرمی است که تراورتهای و مرمرها را به وجود آورده و باعث آورده شدن منگنز به سطح شده است. این تراورتهای در حال حاضر استخراج می‌شوند.

۵- مواد و روشها

به منظور مطالعه شیمی کانسنگ جوکنده، نمونه‌های مختلفی از بخش‌های مختلف این کانسنگ و کانسنگهای خراسانک و زرشلو - خلیفه کمال

میوسن وجود دارند. سنگهای آتشفسانی منطقه به طور عمده از نوع آندزیت، تراکی آندزیت، بازالت آندزیت، داسیت تا ریوداسیت و نیز به صورت سنگهای آذرآواری، آگلومرا، برش، توف و خاکستر آتشفسانی هستند و سنگهای نفوذی به طور عمده از نوع گابرو، دیوریت، گابرو دیوریت، مونزونیت و گرانیت هستند. جایگاه زمین‌ساختی این سنگهای آذرین از نوع حاشیه قاره‌ای فعال و پس از برخورد است.

در جوکنده نیز محصولات آتشفسانی به صورت مواد آذرآواری، بخش‌های وسیعی از شمال و جنوب خاور منطقه را می‌پوشانند. با استفاده از نمودارهای سنگ‌نگاری، این سنگهای از نوع کلسیمی- قلایی و غنی از پتاسیم و متا‌الومین هستند.

عملده‌ترین کانی کدر در این سنگها بر اساس تجزیه XRD، هماتیت است که به صورت درشت بلور و نیز ریز دانه در متن سنگ پراکنده می‌باشد. این هماتیتها حاصل اکساش پیریتهای اولیه در این سنگها توسط محلولهای گرمابی بعدی هستند و اکنون آثار بسیار کمی از آنها در متن سنگ دیده می‌شود. این کانی حدود ۱۰-۵ درصد کل مقاطع را شامل می‌شود.

۴- کانه‌نگاری رخدادهای منگنز جوکنده

به منظور تشخیص کانی‌شناسی، بافت و پاراژنتر در رخدادهای منگنز اطراف هشترود، از واحدهای حاوی ماده معدنی و نقاط مختلف معادن در حال استخراج، نمونه‌برداری شده است. از نمونه‌های یاد شده، مقاطع صیقلی تهیه شده و این مقاطع به وسیله میکروسکوپ بازتابی مورد مطالعه قرار گرفته‌اند و چندین نمونه نیز به روشن XRD تجزیه شده‌اند.

با استفاده از روش‌های یاد شده، در رخدادهای منگنز حوالی هشترود کانه‌های زیر تشخیص داده شدند:

- پیرولوزیت

- پسیلوملان

باطله اصلی در این رخدادها ژاسپر، کلسیت، پاریت و تراورتن است.

- در رخدادهای معدنی جنوب هشترود، پیرولوزیت از لحاظ فراوانی اولین کانه موجود است. این کانه در زیر نور بازتابی، با رنگ زرد مایل به خاکستری تا زرد متمایل به قهوه‌ای، داشتن رخ نامنظم تا کمی منظم، چند رنگی ضعیف و ناهمسانگردی بسیار قوی از دیگر کانه‌های منگنز به آسانی تشخیص داده می‌شود (ملک قاسمی، ۱۳۷۸).

نحوه کانی‌سازی منگنز در رخدادهای معدنی منطقه نسبتاً متنوع است و اساساً به صورت انباشتهای لایه‌ای (جنوب هشترود) (شکل ۳) و توده‌ای (در جوکنده و ایده‌لو) (شکل ۴) و رگه‌ای (در زرشلو و خلیفه کمال) دیده می‌شود. در خراسانک، لایه‌های پیرولوزیت به صورت نوارهای متناوب افقی ۱۰-۵ سانتی‌متری، و به صورت میان لایه با مارنهای آهکی ژیپس دار دیده می‌شوند. در جوکنده، این کانه به صورت توده‌ای دیده می‌شود که

همین نسبت در رسوبات دریابی است. این نسبت در این رسوبات برابر با کمتر از ۱ محاسبه شده است (Crerar et al., 1980 ; Bonatti, 1975).

در کانسنگهای منطقه مورد مطالعه، نسبت Si/Al حدود ۹ محاسبه شده است. این میزان شباht زیادی با نهشته‌های گرمابی دارد. چنانکه از نمودار شکل ۸ نیز پیداست، نمونه‌های منطقه مورد مطالعه در محدوده نهشته‌های گرمابی قرار می‌گیرند.

– دابهیتها (Dubhite) اکسیدهای منگنز مشتق شده از هوازدگی توالیهای کانه زایی شده پیشین هستند و از ویژگیهای آنها افزایش نسبی سرب و روی در این اکسیدهای است. از لحاظ زایشی، دابهیتها با کلاهک آهنی (گوسن) قابل مقایسه بوده و به خاک سیاه معروفند (Nicholson, 1992). همان طور که در شکل ۹ دیده می‌شود، بر اساس میزان سرب و روی موجود در کانسنگ، می‌توان دابهیتها را از دیگر گروههای زایشی تشخیص داد، اما به دلیل تداخل دیگر گروههای، نمی‌توان گروههای دیگر را در این نمودار از هم تفکیک نمود. این نمودار نشان می‌دهد که کانسراهای مطالعه شده، از هوازدگی توالیهای کانه‌زایی شده پیشین حاصل نشده‌اند.

– در نهشته‌های منگزدار، غلظت مس، کبالت و نیکل به عنوان یکی از شاخصهای تشخیص انواع این نهشته‌ها به کار می‌رود. این عناصر در نهشته‌های گرمابی فراوان‌تر از نهشته‌های پلازیک معمولی هستند. از طرف دیگر، نهشته‌های گرمابی در مقایسه با نهشته‌های آبزاد آهن و منگزدار حاوی مقادیر کمتری عناصر کمیاب است (Toth, 1980). فقر شدید این گروه از عناصر در نهشته‌های منگز پشته میان اقیانوسی اطلس، که دارای آهنگ رسوب‌گذاری بسیار بالایی است نیز قابل مشاهده است (Scott, 1974).

بر اساس اطلاعات موجود در نهشته‌های مختلف گرمابی و آبزاد، Bonatti (1975) با استفاده از یک نمودار مثلثی، محدوده نهشته‌های گرمابی و آبزاد را از هم تفکیک کرده است (شکل ۱۰).

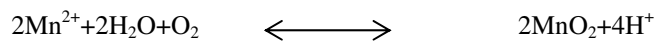
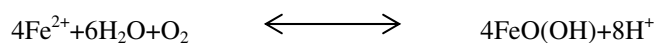
Toth (1980) محدوده قشرهای غنی از آهن و منگنز را به محدوده‌های قبلی اضافه کرده است (شکل ۱۰-ب). این محدوده که بین عضو انتهایی آهن و محدوده گرهکها قرار می‌گیرد، نسبت به گرهکها از آهن غنی‌تر و از عناصر کمیاب فقیرتر است.

این نمودار یکی از معروف‌ترین نمودارهای تفکیک انواع نهشته‌های منگنز و آهن - منگز است که محققان بسیاری از آن استفاده کرده‌اند. موقعیت نمونه‌های کانسنگی منطقه نیز در این نمودار نشان داده شده است (شکل ۱۰-ج). بر اساس این نمودار، کانسراهای مورد مطالعه در محدوده گرمابی قرار می‌گیرند.

– از سوی دیگر مشخص شده است که کانسراهای گرمابی منگز نسبت به کانسراهای آبزاد مقدار کمتری Zn ، Cu ، Ni ، Co دارند (Nicholson, 1992).

انتخاب شدن و به روش XRF تجزیه شدن. با استفاده از نتایج تجزیه شیمیایی کانسنگ و استفاده از نمودارهای موجود، سعی شده است تا منشأ احتمالی فلزها و محیط تشکیل کانسراهای مورد بررسی قرار گیرد.

– هر چند منگز و آهن از نظر ژئوشیمیایی رفتار بسیار مشابهی دارند، اما به دلیل تحرک ژئوشیمیایی بیشتر منگز نسبت به آهن، بویژه در محیط‌های رسوبی، جدایش این دو عنصر از یکدیگر امکان‌پذیر می‌شود. در Eh و pH پایین، یونهای دو ظرفیتی منگز و آهن هر دو به صورت پایدار در محلول باقی می‌مانند. اما در شرایط سطحی هر دو یون می‌توانند با توجه به واکنشهای زیر اکسیدهای نامحلول تولید کرده و از محلول جدا شوند.



انحلال‌پذیری کمتر آهن نسبت به منگز سبب تقدم رسوبگذاری آهن در مقایسه با منگز و در نتیجه باعث تفرق و جدایش این دو عنصر از یکدیگر می‌شود (Krauskopf, 1957 ; Roy, 1981). هر دو عنصر آهن و منگز از اعضای اصلی رسوبات فلزدار بستر دریاهای عهد حاضر هستند. نسبت Mn/Fe در نهشته‌های گرمابی از مقادیر بیش از ۱۰ تا مقادیر کمتر از ۱/۱، متغیر است. در حالی که این نسبت برای نهشته‌های آبزاد (هیدروژنز) برابر ۱ می‌باشد (Rona, 1988). مقادیر بالای Mn/Fe و یا مقادیر پایین این نسبت نشانگر تفرق و جدایش شدید این دو عنصر در محیط‌های رسوبی است و به عنوان شاخص نهشته‌های گرمابی شناخته می‌شود (Bonatti et al., 1976; Bonatti, 1975)

در کانسنگهای منگز جنوب هشتروود میانگین نسبت Mn/Fe برابر ۴۰ بوده و محدوده آن بین ۶/۸ و ۵۲/۲۵ در تغییر است و با توجه به این نسبت می‌توان تفرق بالای این دو عنصر را در این کانسنگها انتظار داشت.

نسبت بالای Mn/Fe نشانگر خروج سیالهای با دمای کمتر و آهنگ فوران پایین است. تخلیه این سیالها در رسوبات و ثبت آهن به صورت کانسنگهای آهن جداگانه، نیز می‌تواند مسئول نسبت بالای Mn/Fe باشد (Roy, 1981).

– از نسبت Si-Al می‌توان به عنوان ابزار ساده‌ای برای تشخیص نهشته‌های گرمابی، آبزاد و خاکزاد و نیز منبع تأمین کننده مواد این نهشته‌ها استفاده کرد (Crerar et al., 1982; Bonatti, 1975; Nicholson, 1992). منبع اولیه تأمین آلومنیم، مواد خاکزاد (مانند کانیهای رسی) هستند. در حالی که سیلیس ممکن است از منابع مختلفی نظیر مواد خاکزاد، فعالیتهای حیاتی و یا منابع گرمابی تأمین شود. نسبت Si/Al گرهکهای خاکزاد منگز بسیار نزدیک به

کانی سازی در کانسار جوکنده از نوع چشممه‌های آب‌گرم و به شکل سطحی است. در بیشتر نواحی، نوارهای منگنز زیر لایه‌های آهکی جای دارند. آهک افقی و خیلی جوان است. عناصر همراه آن گوگرد، فسفر و سیلیس است. بررسیهای صحرایی نشان می‌دهند که این نوارها حاصل رسوب گذاری از چشممه‌های آب‌گرمی هستند که زمانی در منطقه فعالیت داشته‌اند اما در حال حاضر خشک هستند و لذا این نوارهای منگنز به صورت میان لایه با تراورتهای نهشته شده از همان چشممه‌ها تشکیل شده‌اند.

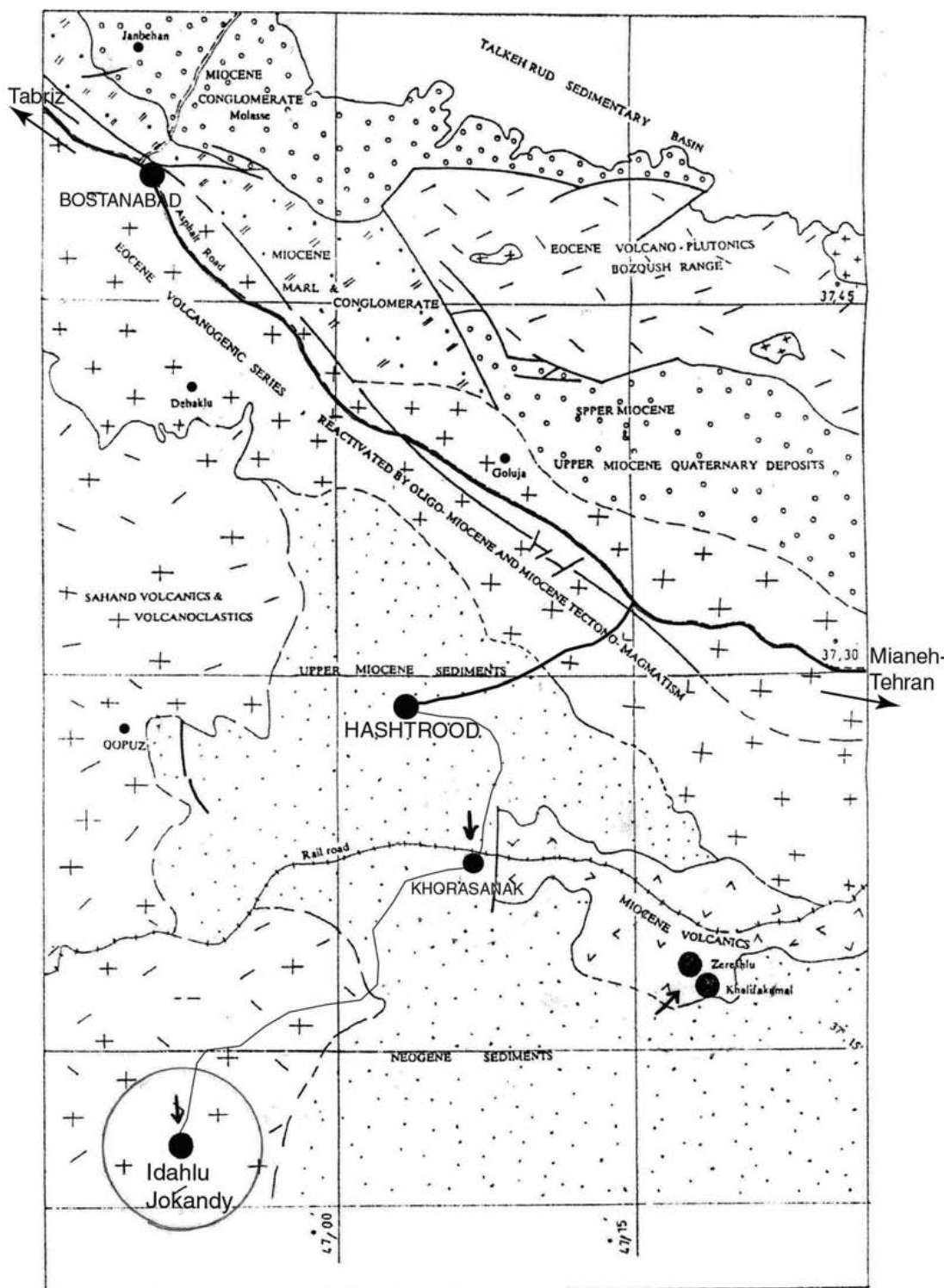
در بخش ژئوشیمی با استفاده از نمودارهای ژئوشیمیایی مشاهده شد که رخدادهای معدنی منطقه ویژگی گرمابی نشان می‌دهند و توسط چشممه‌های آب‌گرم نهشته شده‌اند. نمودار Pb-Zn بر اساس تفکیک محیط دابهیت از سایر محیط‌ها، نشان می‌دهد که اینها حاصل اکسایش توالیهای کانه‌زایی شده پیشین نیستند. با استفاده از نظریات (Nicholson, 1992) و نمودارهای مربوطه، نمونه‌های منطقه در محدوده کانسارهای گرمابی قرار گرفتند. با استفاده از نمودار مثلثی مشخص شد که نمونه‌های منطقه فقیر از Co, Ni, Cu بوده و در واقع ماهیت گرمابی نشان می‌دهند.

وجود رخدادها و بی‌هنگاریهای نسبتاً فراوان منگنز در نواحی بستان آباد، سراب، قره چمن، هشترود، میانه و مهریان در آذربایجان خاوری که وسعتی بیش از 200 km^2 را در بر می‌گیرد، حاکی از وجود یک ایالت فلززایی در مقیاس ناحیه‌ای در این منطقه است. در اغلب این رخدادهای یاد شده می‌توان منگنز همراه با کانی سازی آهن است. علاوه بر رخدادهای یاد شده می‌توان به کانی سازی اسکارنی آهن و منگنز در منطقه تیکمه‌داش (خاور هشترود) و کانی سازی رگه‌ای منگنز در منطقه قبچاق، زرشلو، خلیفه کمال، گلوجه، منامین، قوپوز، ویلادره، دبکلو، جانبهان و چای تلور اشاره کرد.

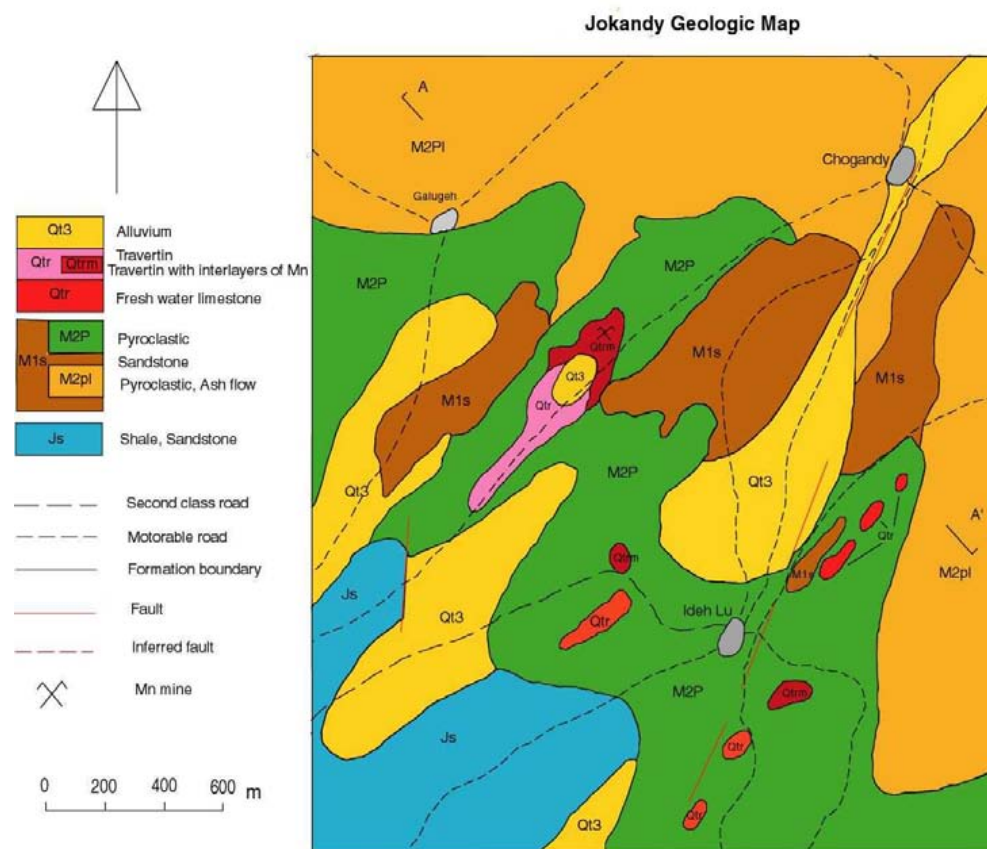
می‌دهد که کانسنگهای منطقه از عناصر کالت، نیکل، مس و روی فقیر بوده و این مسئله می‌تواند شاهدی بر منشأ گرمابی آنها باشد.

نتیجه‌گیری

شروع حرکات پیرنه در این نواحی با آتشفسانی اونسن همراه بوده و حرکات پایانی این کوهزایی همراه با تزریق توده‌های نفوذی به درون مجموعه سنگهای خروجی اونسن تا میوسن بوده است. نفوذ این توده‌ها همراه با عوامل زمین‌ساختی باعث خرد شدن سنگها و ایجاد معابری برای نفوذ سیالهای کانه‌دار شده است. سنگهای توده‌های نفوذی شامل گابرو، دیبوریت، گابرو‌دیبوریت و مونزودیبوریت تا گرانیت هستند. سن جایگیری آنها الیگومیوسن بوده و در سنگهای آتشفسانی و آتشفسانی-آواری اونسن با ترکیب آندزیت تا تراکی آندزیت، آندزیت بازالتی، داسیت تا ریوداسیت و توفها تزریق شده و در اطراف خود دگرگونی همبrijی ایجاد کرده‌اند. محلولهای گرمابی روی این مجموعه، بویژه سنگهای آتشفسانی با سیمان کربناتی اثر کرده و منجر به توسعه دگرسانیهای گرمابی در آنها شده‌اند. وجود گسلهای متعدد از جمله گسل امتداد لغز قرانقوچای، گسل بزرگ آیدوغموش، گسل محمود آباد و گسل قلعه حسین خان - کلب کنده در این نواحی، بر نقش زمین ساخت و سامانه شکستگی در تمرکز مواد معدنی و هدایت سیالهای گرمابی افزوده است. این محلولها در سنگهای آتشفسانی و آتشفسانی-آواری وارد و تشکیل کانی‌سازی رگه‌ای و اسکارنی داده‌اند به طوری که کانی سازی قوی آهن و منگنز به همراه کانی سازی ضعیف روی، مس و سرب به صورت رگه‌ای و اسکارنی در محدوده مورد مطالعه صورت گرفته است.



شکل ۱- موقعیت کلی منطقه مورد مطالعه نسبت به هشتگرد. رخدادهای دیگر مهم منکنر با فلش نشان داده شده‌اند.



شکل ۲- نقشه زمین شناسی ۱:۲۰۰۰۰ منطقه ایده‌لو - جوکندی (گزارش بی جویی منگنز در ایده‌لو - جوکندی، ۱۳۷۵).



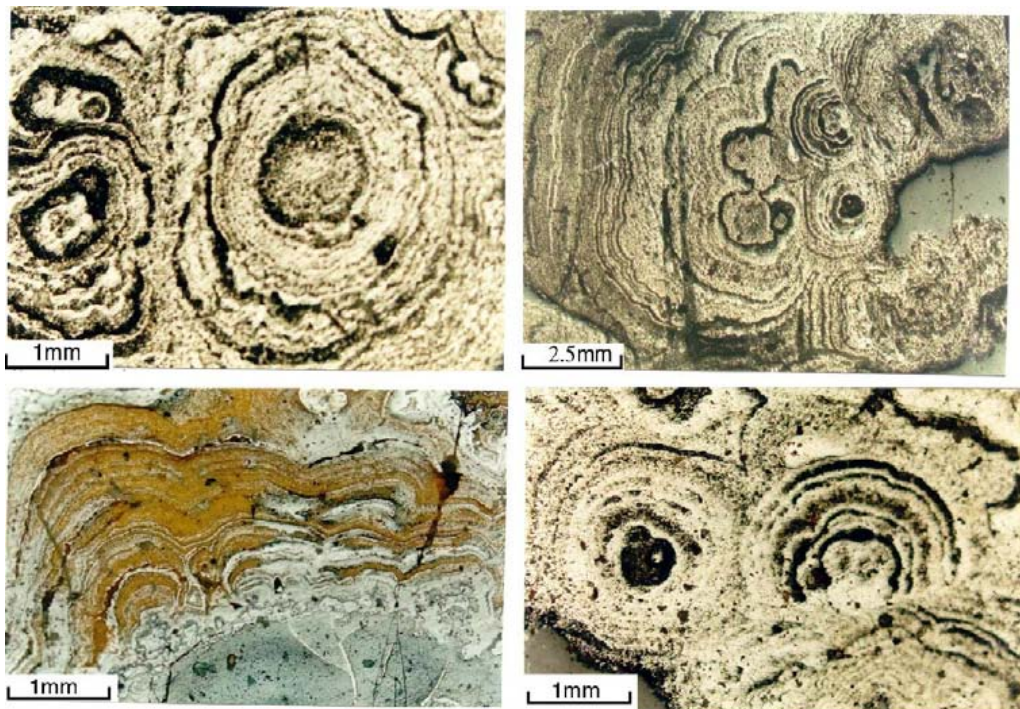
شکل ۳- انباشت‌های لایه‌ای منگنز در منطقه خراسانک.



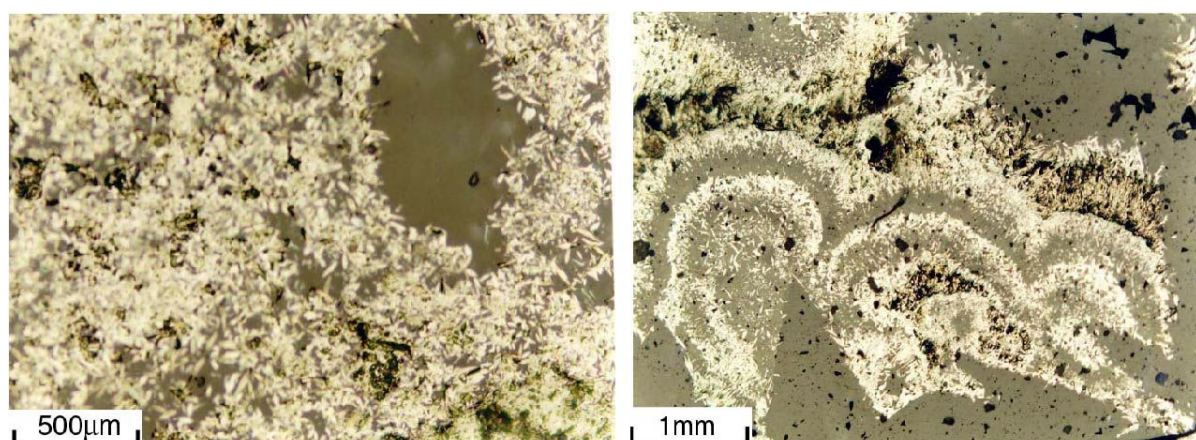
شکل ۴- انباستهای توده‌ای منگنز به همراه تراورتن در منطقه جوکنده و ایده‌لو.



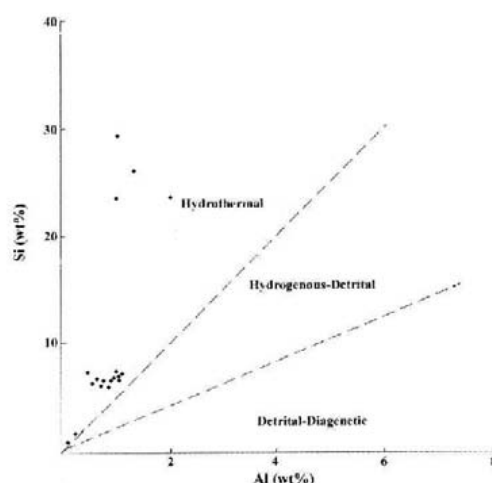
شکل ۵- همراهی تراورتنها با کانی‌سازی منگنز در منطقه جوکنده.



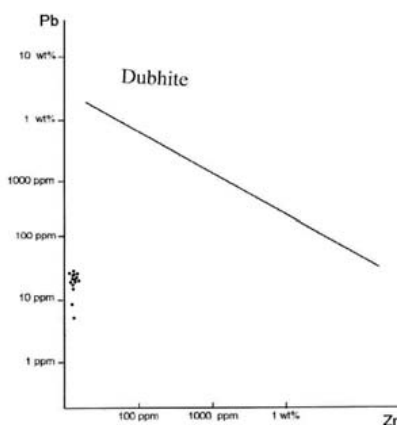
شکل ۶- بافت کلوفرم، نواریندی هم‌مرکز و رشد کروی پیزولیتی در مقاطع صیقلی کانه پپرولوزیت. نور بازتابی.



شکل ۷- بافت کلوفرم مشکل از سوزنهای پسیلوملان. نور بازتابی.



شکل ۸- نمودار Si-Al و تفکیک فرایندهای مختلف تشکیل نهشته‌های فرومگنت (Crerar et al., 1982)

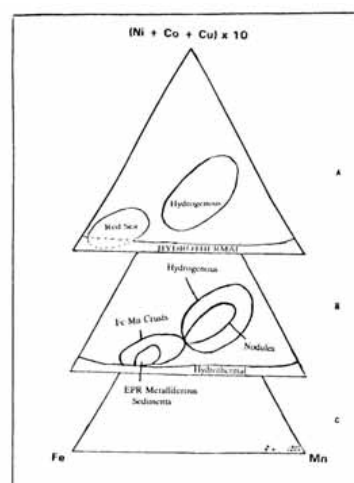


شکل ۹- نمودار Pb-Zn و تفکیک محیط دابهیت از دیگر محیطها (Nicholson, 1992) و موقعیت نمونه‌های کانسنگهای خراسانک و جوکنده.

جدول ۱ - نتایج تجزیه شیمیایی نمونه‌های منگز جنوب و جنوب باختر هشتروود.

SiO_2	15.21	13.93	11.99	12.73	14.03	12.58	11.58	14.13	13.91	14.07	12.66	56.51	2.11	16.00	3.77
Al_2O_3	3.41	3.51	2.21	1.79	1.99	2.34	2.76	3.25	3.12	4.31	3.87	5.03	0.36	1.75	1.46
Fe_2O_3	4.02	3.96	2.65	3.71	2.98	3.53	2.59	2.91	2.87	2.78	2.81	0.57	17.51	0.75	0.61
CaO	2.29	1.82	1.99	1.62	2.11	1.69	2.02	1.65	2.06	1.39	1.25	1.4	3.61	1.11	2.03
Na_2O	0.46	0.31	0.21	0.36	0.57	0.49	0.37	0.29	0.39	0.41	0.53	0.07	0.22	0.42	0.29
K_2O	3.1	1.91	0.87	1.87	2.63	2.17	0.99	1.32	2.15	2.49	1.97	0.05	2.22	0.41	4.2
MgO	0.54	0.63	0.71	0.69	0.89	0.92	0.71	0.78	0.77	0.95	0.87	0.25	0.57	0.95	0.58
TiO_2	0.101	0.098	0.067	0.079	0.110	0.093	0.064	0.084	0.078	0.091	0.075	0.014	0.055	0.124	0.109
P_2O_5	0.31	0.54	0.15	0.20	0.55	0.42	0.31	0.29	0.34	0.49	0.51	0.09	0.80	0.13	0.60
MnO_2	65.91	68.75	76.42	72.28	68.62	70.93	73.68	69.53	69.17	69.31	76.42	35.33	66.02	78.11	81.63
Cr	399	491	526	478	512	486	439	507	519	467	498	400	564	100	520
Hf	18	19	20	18	17	16	21	19	18	22	21	5	16	9	22
W	81	79	96	86	93	105	98	114	85	79	90	74	84	80	119
Pb	37	29	32	30	27	39	32	19	27	15	30	8	37	5	39
La	27	35	40	38	19	29	31	43	22	36	39	9	45	7	32
Ce	1351	2179	1959	993	1870	2233	1764	1982	1843	2015	2406	811	2572	1285	1600
Th	16	14	18	27	9	25	13	19	20	11	25	6	41	12	10
U	7	10	9	11	10	6	8	10	11	8	9	7	10	10	8
Ba	41720	49553	44864	47952	43373	50973	6799	51119	4690	49115	43751	4250	52053	5330	38440
Zr	460	391	442	389	176	457	412	395	197	437	449	352	442	90	122
Co	86	79	61	54	97	70	85	87	91	86	65	173	102	157	123
Ni	16	19	20	23	15	37	21	25	10	18	27	7	9	82	75
Cu	6	4	5	10	6	3	8	4	5	3	9	4	7	5	3
Zn	7	5	6	10	9	8	7	9	5	10	8	5	8	10	5
Rb	115	125	119	106	95	110	97	101	122	107	99	109	125	126	92
Sr	6	8	12	7	9	6	9	10	6	8	7	6	7	9	7
Y	2	5	7	3	6	2	7	4	6	5	3	1	4	4	6
Nb	7	5	6	5	4	7	6	4	8	7	5	9	5	3	2
Mo	4	7	5	9	8	10	6	5	6	4	7	4	6	7	5
V	9	10	6	11	5	9	8	7	9	5	8	11	8	9	4
S	95	81	169	90	67	73	89	183	59	79	63	191	16	52	80
Cl	140	184	139	175	146	150	126	160	161	193	177	190	120	170	130
Ga	8	5	11	6	8	10	7	6	5	8	7	7	5	8	4

SiO_2	48/82	56/18	44/09
Al_2O_3	6/89	3/03	3/24
Fe_2O_3	2/94	1/0	7/79
CaO	1/57	3/79	10/07
MgO	0/04	0/04	0/08
P_2O_5	-	-	-
MnO_2	30/83	20/05	20/61
Na_2O	0/07	0/08	0/08
K_2O	0/3	0/4	0/5
SO_3	2/83	2/78	2/76



شکل ۱۰- نمودار مثلثی بر اساس فراوانی سه عضو انتهایی

.Mn-Fe-(Ni+Co+Cu)×10

A-اقتباس از (Toth 1975) ; B-اقتباس از (Bonatti 1980) ; C-

- موقعیت نمونه‌های کانسنجی خراسانک و جوکنده. این نمونه‌ها همگی

در محدوده گرمابی قرار می‌گیرند.

جدول ۲ - نتایج تجزیه شیمیایی سنگهای آتششانی مناطق مورد مطالعه.

SiO₂	%	۶۳/۴۰	۵۸/۷۹	۶۲/۸۰	۶۱/۵۰	۶۱/۹۰
Al₂O₃	%	۱۵/۶۶	۱۶/۹۶	۱۴/۳۰	۱۵/۹۰	۱۶/۱۲
Fe₂O₃	%	۵/۹۴	۶/۹۵	۶/۲۰	۶/۴۳	۶/۰۳
CaO	%	۵/۵۵	۷/۱۵	۵/۹۰	۶/۲۰	۵/۸۷
Na₂O	%	۳/۹۲	۳/۷۹	۲/۷۸	۲/۹۰	۳/۲۷
K₂O	%	۲/۷۳	۱/۹۸	۳/۱۲	۳/۵۲	۲/۸۴
MgO	%	۰/۹۰	۱/۶۵	۳/۰۰	۲	۲/۳۰
TiO₂	%	۰/۶۴۸	۰/۸۴۳	۰/۷۶۰	۰/۷۴۲	۰/۷۱۵
MnO	%	۰/۰۶۸	۰/۱۳۳	۰/۱۳۸	۰/۱۴	۰/۱۳
P₂O₅	%	۰/۲۵۱	۰/۲۷۴	۰/۱۳۰	۰/۳۱۲	۰/۲۹۱
Ba	ppm	۹۵۵	۷۸۹	۷۴۱	۸۹۹	۸۴۲
Ce	ppm	۴۴	۳۵	۵۴۰	۹۸	۷۵
Co	ppm	۱۰	۱۳	۹۶	۲۵	۴۳
Cr	ppm	۲۶	۶۳	۳۸	۵۴	۴۶
Cu	ppm	۳	۶	۶	۸	۹
Nb	ppm	۱۹	۱۸	۴	۱۵	۲۳
Ni	ppm	۶	۶	۶۹	۸	۱۰
Pb	ppm	۵۳	۱۹	۸۱	۶۷	۵۹
U	ppm	۱	۱	۲۱	۲۳	۱۸
Th	ppm	۱۷	۷	۱۹	۱۵	۱۳
Rb	ppm	۶۱	۴۵	۹۵	۷۵	۸۱
Sr	ppm	۴۵۰	۴۷۶	۱۰۲	۴۰۰	۴۱۳
V	ppm	۶۶	۱۰۸	۲۵۱	۹۸	۱۰۲
W	ppm	۰	۰	۷۲	۴۵	۹۷
Y	ppm	۱۶	۱۸	۵	۱۱	۱۳
Zr	ppm	۱۹۷	۲۰۳	۱۰۱	۱۵۴	۱۸۳
Zn	ppm	۱۰۳	۸۱	۱۱	۶۴	۵۸
Mo	ppm	۱	۱	۳	۵	۴
Cl	ppm	۵۴	۲۴۷	۲۰۰	۱۸۶	۱۵۴
S	ppm	۵	۸	۴۴	۳۶	۱۹
La	ppm	۲۶	۱۲	۵۴	۲۷	۱۹
Ga	ppm	۱۶	۱۱	۲۴	۱۷	۱۹
Hf	ppm	-	-	۱۱	-	-

کتابنگاری

اداره کل معدن و فلات آذربایجان شرقی، ۱۳۷۵- گزارش پی جویی منگنز در ایده لو - جوکنده.
جعفری، ف.، ۱۳۸۱- بررسی پترولوژیکی توده‌های نفوذی مناطق قبچاق و تیکمه داش با نگرش ویژه بر پتانسیل اقتصادی منطقه. رساله کارشناسی ارشد، گروه زمین شناسی دانشگاه تبریز.

سیمونز، و.، ۱۳۸۱- بررسی زمین شناسی اقتصادی پتانسیلهای منگنز خراسانک، جنوب و جنوب باختر هشتاد. رساله کارشناسی ارشد، گروه زمین شناسی دانشگاه تبریز.

ملک قاسمی، ف.، ۱۳۷۸- اصول مینرالوگرافی. انتشارات دانشگاه تبریز.
گزارش مربوط به نقشه زمین شناسی ۱:۱۰۰۰۰ هشتاد، سازمان زمین شناسی کشور، امینی آذر و قدیرزاده

References

- Bonatti, E., Zerbi, M., Kay, R. & Rydell, H., 1976- Metalliferous deposits from the Apennine ophiolites: Mesozoic equivalent of modern deposits from oceanic spreading centers. *Geol. Soc. Amer. Bull.*, 87. 83-94.
- Bonatti, E.M., 1975- Metallogenesis at oceanic spreading centers. In *annual reviews of earth and planetary sciences*.3. 401-431.
- Bostrom, K. & Peterson, M.N.A., 1966- Precipitates from hydrothermal exhalations of the East Pacific Rise. *Econ. Geol.* 61, 1258-1265.
- Crerar, D.A., Cormick, R.K. & Barnes, H.L., 1980a- Geochemistry of manganese. In I.M.Varentsov and Gy. Grasselly, Eds. *Geology and Geochemistry of manganese*. Stuttgart. 1. 293-334.
- Hewitt, D.F., 1966- Stratified deposits of oxides and carbonates of manganese. *Econ. Geol.*, 55. 1-55.
- Hewitt, D.F. & Fleischer, M.F., 1960- Deposits of manganese oxides. *Econ. Geol.*, 61. 1-55.
- Krauskopf, S. H., 1957- Separation of manganese from iron in sedimentary processes. *Geochim. Cosmochim. Acta*. 12. 61-84.
- Mason, M. & Moore, C.B., 1982- Principle of geochemistry.
- Maynard, J.B., 1983- Geochemistry of sedimentary ore deposits. Springer-verlag. 305.
- Nicholson, K., 1992- Contrasting mineralogical, Geochemical signatures of manganese oxides. Guides to metallogenesis. *Eco. Geol.*, 87. 153-163.
- Rona, P.A. , 1988- Hydrothermal mineralization at oceanic ridges. *Can. Mineral.*, 26. 431-465.
- Roy, S., 1981- Manganese deposits. Academic press, London. 458.
- Scott, S.D., 1974- Experimental methods in sulfide synthesis. In Robbie P.H. (ed.) *Sulfide Mineralogy*. Mineral. Soc. Am. Short Course Notes, . 1. 4.
- Toth, J.R., 1980- Deposition of submarine crusts rich in manganese and iron. *Geol. Soc. America Bult.*, I. 91. 44-54.
- Zantop, H., 1978- Geologic setting and genesis of iron oxides and manganese oxides in the San Francisco manganese deposit, Jalisco, Mexico. *Econ. Geol.*, 73. 1137-1149.